

# ВЫРОЖДЕНИЕ НИЗКОЧАСТОТНЫХ РЕЗОНАНСОВ В КИРАЛЬНОМ АНИЗОТРОПНО ПРОВОДЯЩЕМ ЦИЛИНДРЕ, ЗАПОЛНЕННОМ МЕТАМАТЕРИАЛОМ

*А. П. Анютин\*, И. П. Коршунов\*\*, А. Д. Шатров*

*Фрязинский филиал Института радиотехники и электроники им. В. А. Котельникова Российской академии наук  
141190, Фрязино, Московская обл., Россия*

Поступила в редакцию 16 января 2014 г.

Рассмотрена двумерная задача возбуждения нитями электрического и магнитного токов цилиндра, заполненного метаматериалом, с анизотропной проводимостью поверхности вдоль винтовых линий. Исследованы высокодобротные резонансы, возникающие в малых по сравнению с длиной волны цилиндрах, магнитная проницаемость которых близка к минус единице. Обнаружен эффект вырождения колебаний, имеющих различные значения индекса  $m$  в законе  $\cos(m\varphi)$ , описывающем азимутальную зависимость резонансных полей. Установлена область параметров задачи, в которой существуют вырожденные колебания. Исследованы пространственная и поляризационная структуры электромагнитных полей. Предложено аналитическое описание резонансных полей в квазистатическом приближении.

**DOI:** 10.7868/S0044451014090028

## 1. ВВЕДЕНИЕ

В последние годы интенсивно развивается электродинамика искусственных сред, у которых относительные диэлектрическая  $\epsilon$  и магнитная  $\mu$  проницаемости являются отрицательными величинами [1–6]. Такие искусственные среды принято называть метаматериалами [7]. Электромагнитные поля, возбуждаемые источниками, расположеннымными вблизи тел из метаматериалов, обладают рядом необычных свойств [8]. Так, в работе [9] при исследовании излучения дипольных источников на сферических частицах из метаматериала обнаружены эффекты резонансного возбуждения мод шара электрического или магнитного типов. Из работы [9] следует, что если параметры материала близки к величинам  $\epsilon = -1 - 1/m$  или  $\mu = -1 - 1/m$  ( $m = 1, 2, 3, \dots$ ), то эти резонансы являются квазистатическими, т. е. существуют в частицах электрически малых размеров. Таких резонансов нет в объектах из обычных магнитодиэлектриков.

В работе [10] обнаружены квазистатические высокодобротные резонансы в цилиндрах, выполненных

из метаматериалов, у которых  $\epsilon$  или  $\mu$  близки к минус единице. Упомянутые цилиндры можно рассматривать как кольцевые резонаторы на сильно замедленных поверхностных волнах, распространяющихся вдоль границы метаматериала. При этом поле на резонансной частоте описывается единственной азимутальной гармоникой  $\cos(m\varphi)$ . В работе [11] исследованы спектральные и поляризационные свойства полей в многозаходной спирали, заполненной метаматериалом. Спираль моделировалась поверхностью с идеальной анизотропной проводимостью вдоль винтовых линий. В такой структуре поверхностные волны формируются как границей раздела сред, так и проволочной решеткой, расположенной на этой границе. В данной работе будет показано, что при определенных сочетаниях параметров задачи происходит вырождение квазистатических резонансов. В частности, показано, что возможны случаи, когда поле описывается функцией  $\cos(m\varphi)$ , имеющей различные значения индекса  $m$  в ближней и дальней зонах.

Из близких по тематике исследований отметим также работу [12], в которой рассматривалось излучение оптически активных молекул, расположенных вблизи сферических частиц из киральных метаматериалов, которые характеризовались тремя величинами  $\epsilon$ ,  $\mu$  и  $\eta$ , где  $\eta$  — параметр киральности. Иссле-

\*E-mail: aniotine@mail.ru

\*\*E-mail: korip@ms.ire.rssi.ru

дованы особенности резонансных явлений, обвязанные как отрицательности величин  $\varepsilon$  и  $\mu$ , так и киральности среды. В отличие от [12], в данной работе рассматриваются цилиндрические, а не сферические рассеиватели, при этом киральность объекта из метаматериала обусловлена свойствами его границы, а не свойствами вещества, из которого он состоит. Спиральная геометрия проводников — это наиболее простой способ реализации киральных электродинамических объектов из метаматериалов при создании новой элементной базы в дециметровом и сантиметровом диапазонах волн. Двумерность рассмотренной модельной задачи позволяет, используя более простой математический аппарат, получить аналитическое описание исследуемых явлений вырождения собственных мод.

## 2. ФОРМУЛИРОВКА ЗАДАЧИ И МЕТОД РЕШЕНИЯ

Рассматривается задача возбуждения нитевидным источником кругового цилиндра, выполненного из метаматериала с параметрами  $\varepsilon$  и  $\mu$ . Используется цилиндрическая система координат  $(r, \varphi, z)$  (см. рис. 1). Предполагаем, что на поверхности цилиндра  $r = a$  выполняются двухсторонние граничные условия идеальной анизотропной проводимости вдоль винтовых линий [13]:

$$E_z^+ = E_z^-, \quad E_\varphi^+ = E_\varphi^-, \quad E_z \cos \psi + E_\varphi \sin \psi = 0, \quad (1)$$

$$(H_z^+ - H_z^-) \cos \psi + (H_\varphi^+ - H_\varphi^-) \sin \psi = 0, \quad (2)$$

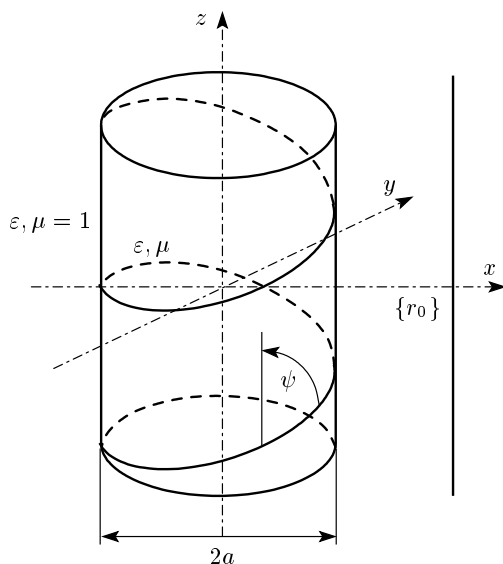


Рис. 1. Геометрия задачи

где знаки «плюс» и «минус» соответствуют внешней ( $r > a$ ) и внутренней ( $r < a$ ) сторонам поверхности,  $\psi$  — угол скрутки спирали. Для определенности винтовые линии полагаются правыми ( $0 < \psi < \pi/2$ ). Модель цилиндрической поверхности с анизотропной проводимостью «винтового» типа хорошо описывает проволочные спирали (однозаходные и многозаходные), если расстояние между осями соседних проводников много меньше длины волны, а величина зазоров лежит в определенном интервале [13, 14].

Цилиндр возбуждают нитями электрического и магнитного токов, которые расположены вне цилиндра в точке  $r_0 > a$ ,  $\varphi_0 = 0$  (рис. 1). Предполагаем, что возбуждающие токи не зависят от координаты  $z$ . В этом случае рассматриваемая задача является двумерной, но двухпотенциальной. В качестве потенциалов выберем функции

$$U_1(r, \varphi) = E_z(r, \varphi), \quad U_2(r, \varphi) = H_z(r, \varphi). \quad (3)$$

Далее будем использовать векторные обозначения, например:

$$\mathbf{U} = \{U_1, U_2\}. \quad (4)$$

Векторная функция  $\mathbf{U}(r, \varphi)$  удовлетворяет неоднородному уравнению Гельмгольца:

$$\left[ \frac{\partial^2}{\partial r^2} + \frac{1}{r} \frac{\partial}{\partial r} + \frac{1}{r^2} \frac{\partial^2}{\partial \varphi^2} + k^2 \varepsilon(r) \mu(r) \right] \mathbf{U}(r, \varphi) = -\frac{4i}{r} \mathbf{A} \delta(r - r_0) \delta(\varphi), \quad (5)$$

где  $k$  — волновое число в свободном пространстве, функции  $\varepsilon(r)$  и  $\mu(r)$  определены формулами

$$\begin{aligned} \varepsilon(r) &= \begin{cases} \varepsilon, & 0 < r < a, \\ 1, & r > a, \end{cases} \\ \mu(r) &= \begin{cases} \mu, & 0 < r < a, \\ 1, & r > a, \end{cases} \end{aligned} \quad (6)$$

$\delta(\dots)$  — делта-функция Дирака, компоненты  $A_1$  и  $A_2$  вектора  $\mathbf{A}$  задают амплитуды электрического и магнитного возбуждающих токов.

Величины  $E_\varphi$  и  $H_\varphi$ , входящие в граничные условия (1) и (2), а также радиальные компоненты электромагнитного поля выражаются через  $U_1$  и  $U_2$  по формулам, вытекающим из уравнений Максвелла:

$$E_\varphi = -\frac{1}{ik\varepsilon(r)} \frac{\partial U_2}{\partial r}, \quad H_\varphi = \frac{1}{ik\mu(r)} \frac{\partial U_1}{\partial r}, \quad (7)$$

$$E_r = \frac{1}{ik\varepsilon(r)r} \frac{\partial U_2}{\partial \varphi}, \quad H_r = -\frac{1}{ik\mu(r)r} \frac{\partial U_1}{\partial \varphi}. \quad (8)$$

Поле  $\mathbf{U}(r, \varphi)$  должно также удовлетворять условию излучения, т. е. иметь при  $kr \rightarrow \infty$  следующий вид:

$$\mathbf{U}(r, \varphi) = \Phi(\varphi) \left( \frac{2}{\pi kr} \right)^{1/2} \exp \left( -ikr + \frac{i\pi}{4} \right). \quad (9)$$

Возбуждающее поле  $\mathbf{U}^0$  является решением неоднородного уравнения Гельмгольца в свободном пространстве и определено по формуле

$$\mathbf{U}^0(r, \varphi) = \mathbf{A} H_0^{(2)} \left( k \sqrt{r^2 + r_0^2 - 2rr_0 \cos \varphi} \right), \quad (10)$$

где  $H_0^{(2)}$  — функция Ганкеля. Диаграмма направленности поля  $\mathbf{U}^0(r, \varphi)$  имеет вид

$$\Phi^0(\varphi) = \mathbf{A} \exp(ikr_0 \cos \varphi). \quad (11)$$

Полное поле вне цилиндра  $\mathbf{U}$  состоит из возбуждающего  $\mathbf{U}^0$  и рассеянного  $\mathbf{U}^s$  полей. Через  $\Phi^s(\varphi)$  будем обозначать диаграмму рассеяния, т. е. диаграмму направленности поля  $\mathbf{U}^s$ .

Уравнение (5), граничные условия (1), (2) и условия излучения (9) полностью определяют краевую задачу для поля  $\mathbf{U}(r, \varphi)$ .

Сформулированная задача допускает аналитическое решение методом разделения переменных [11]. Приведем окончательные выражения для волновых полей. Введем векторы  $\mathbf{L}^{(m)}$ ,  $\mathbf{M}^{(m)}$ ,  $\mathbf{N}^{(m)}$  и скаляр  $W^{(m)}$ :

$$\mathbf{L}^{(m)} = \left\{ H_m^{(2)'}(ka) \sin \psi, iH_m^{(2)}(ka) \cos \psi \right\}, \quad (12)$$

$$\mathbf{M}^{(m)} = \left\{ H_m^{(2)'}(ka) \sin \psi, -iH_m^{(2)}(ka) \cos \psi \right\}, \quad (13)$$

$$\mathbf{N}^{(m)} = \left\{ \frac{n}{\varepsilon} J_m'(kna) \sin \psi, iJ_m(kna) \cos \psi \right\}, \quad (14)$$

$$\begin{aligned} W^{(m)} = & H_m^{(2)}(ka) J_m(kna) \left[ \frac{n}{\varepsilon} H_m^{(2)}(ka) J_m'(kna) - \right. \\ & \left. - H_m^{(2)'}(ka) J_m(kna) \right] \cos^2 \psi + \\ & + \frac{n}{\varepsilon} H_m^{(2)'}(ka) J_m'(kna) \left[ \frac{n}{\mu} H_m^{(2)}(ka) J_m'(kna) - \right. \\ & \left. - H_m^{(2)'}(ka) J_m(kna) \right] \sin^2 \psi, \end{aligned} \quad (15)$$

где

$$n = \sqrt{\varepsilon \mu}, \quad (16)$$

$J_m(kna)$  — функции Бесселя, штрих означает дифференцирование по аргументу.

Полное поле  $\mathbf{U}(r, \varphi)$  внутри цилиндра ( $r < a$ ) можно представить в виде

$$\begin{aligned} \mathbf{U}(r, \varphi) = & \sum_{m=0}^{\infty} \delta_m H_m^{(2)}(kr_0) \times \\ & \times \mathbf{B}^{(m)} J_m(knr) \cos(m\varphi), \end{aligned} \quad (17)$$

где

$$\delta_m = \begin{cases} 1, & m = 0, \\ 2, & m \geq 1, \end{cases} \quad (18)$$

$$\mathbf{B}^{(m)} = \frac{2i(\mathbf{A}, \mathbf{M}^{(m)})}{\pi ka W^{(m)}} \mathbf{N}^{(m)}. \quad (19)$$

Через  $(\mathbf{A}, \mathbf{M}^{(m)})$  в (19) обозначено скалярное произведение

$$(\mathbf{A}, \mathbf{M}^{(m)}) = A_1 M_1^{(m)} + A_2 M_2^{(m)}. \quad (20)$$

Поле вне цилиндра ( $r > a$ ) представляется в виде двух слагаемых — падающего и рассеянного полей:

$$\mathbf{U}(r, \varphi) = \mathbf{U}^0(r, \varphi) + \mathbf{U}^s(r, \varphi). \quad (21)$$

Рассеянное поле выражается формулой

$$\begin{aligned} \mathbf{U}^s(r, \varphi) = & \sum_{m=0}^{\infty} \delta_m H_m^{(2)}(kr_0) \left( \mathbf{C}^{(m)} + \mathbf{D}^{(m)} \right) \times \\ & \times H_m^{(2)}(kr) \cos(m\varphi), \end{aligned} \quad (22)$$

где

$$\mathbf{C}^{(m)} = \left\{ -A_1 \frac{J_m(ka)}{H_m^{(2)}(ka)}, -A_2 \frac{J_m'(ka)}{H_m^{(2)'}(ka)} \right\}, \quad (23)$$

$$\mathbf{D}^{(m)} = \frac{2i(\mathbf{A}, \mathbf{M}^{(m)}) \frac{n}{\varepsilon} J_m(kna) J_m'(kna)}{\pi ka H_m^{(2)}(ka) H_m^{(2)'}(ka) W^{(m)}} \mathbf{L}^{(m)}. \quad (24)$$

Диаграмма направленности рассеянного поля  $\Phi^s(\varphi)$  представляется в виде ряда:

$$\begin{aligned} \Phi^s(\varphi) = & \sum_{m=0}^{\infty} \delta_m (i)^m H_m^{(2)}(kr_0) \times \\ & \times \left( \mathbf{C}^{(m)} + \mathbf{D}^{(m)} \right) \cos(m\varphi). \end{aligned} \quad (25)$$

Формулы (17), (22) применимы как для цилиндров из обычных материалов ( $\varepsilon > 0$ ,  $\mu > 0$ ), так и для цилиндров из метаматериалов ( $\varepsilon < 0$ ,  $\mu < 0$ ). Показатель преломления  $n$  (см. (16)) для этих случаев будем считать положительным.

Разложения (17) и (22) сходятся при любых вещественных значениях параметров  $\varepsilon$  и  $\mu$ , что легко устанавливается с помощью асимптотических представлений Дебая для цилиндрических функций  $J_m$  и  $H_m^{(2)}$  при  $m \rightarrow \infty$  [15]. Функция  $W^{(m)}$ , стоящая в знаменателях формул (19) и (24), являясь комплексной функцией параметра  $ka$ , не обращается в нуль при вещественных значениях частоты  $ka$ . Поэтому рассмотренная задача дифракции на цилиндре имеет

решение при любых вещественных значениях материальных параметров, в том числе для  $\varepsilon = \mu = -1$ , в то время, как задача дифракции поля точечного источника на полупространстве  $\varepsilon = \mu = -1$  в отсутствие тепловых потерь неразрешима [8].

Далее будем рассматривать только электрически малые цилиндры:

$$ka \ll 1, \quad nka \ll 1. \quad (26)$$

В знаменателях выражений (17), (22) содержатся резонансные функции  $W^{(m)}(ka)$ , определяемые формулой (15). Исследуем зависимость этих знаменателей от частоты. При выполнении условий (26) вещественная часть выражения (15) значительно превышает его мнимую часть. Вещественная часть функций  $W^{(m)}(ka)$  обращается в нуль в точках, которые являются резонансными частотами. Таким образом, уравнение для резонансных частот имеет вид

$$\operatorname{Re} [W^{(m)}(ka)] = 0. \quad (27)$$

На резонансных частотах в разложениях (17), (22) будет доминировать единственная азимутальная гармоника  $\cos(m\varphi)$ .

Преобразуем уравнение (27), используя асимптотические разложения цилиндрических функций при малых значениях аргумента [15]:

$$\begin{aligned} J_m(x) &= \frac{x^m}{2^m m!} \left[ 1 - \frac{x^2}{4(m+1)} + \dots \right], \\ H_m^{(2)}(x) &= \frac{i \cdot 2^m (m-1)!}{\pi x^m} \left[ 1 + \frac{x^2}{4(m-1)} + \dots \right], \quad (28) \\ &\quad m \geq 2. \end{aligned}$$

Учитывая (28) и сохраняя в (27) члены нулевого и первого порядков по степеням малого параметра  $(ka)^2$ , получим следующее выражение для резонансных частот:

$$\begin{aligned} (ka)^2 &= \\ &= \frac{\left(1 + \frac{1}{\mu}\right) \sin^2 \psi}{\frac{1+\varepsilon}{m^2} \cos^2 \psi + \frac{1}{2m} \left(\frac{1}{m-1} + \frac{\varepsilon}{m+1}\right) \sin^2 \psi}, \\ &\quad m \geq 2. \quad (29) \end{aligned}$$

Напомним, что выражение (29) справедливо только при выполнении условия  $ka \ll 1$ . Для этого необходимо, чтобы было выполнено любое из неравенств

$$\psi \ll 1, \quad (30)$$

$$|\mu + 1| \ll 1. \quad (31)$$

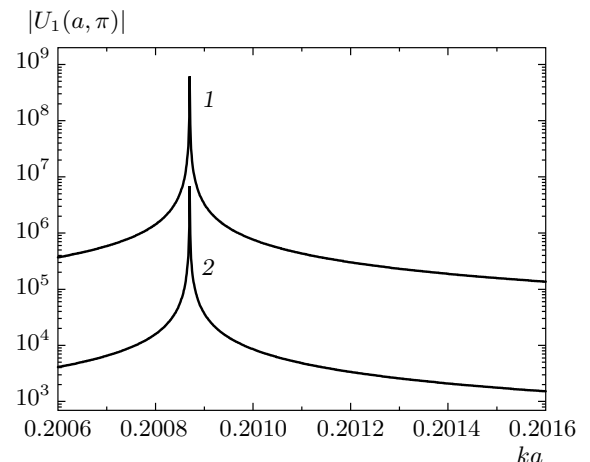
При  $\psi \ll 1$  формула (29) применима и для цилиндра из обычного материала ( $\varepsilon > 0, \mu > 0$ ). Для метаматериала правая часть соотношения (29) может быть малой за счет выполнения условия (31). В этом случае формула (29) справедлива для структур с любыми углами скрутки винтовых линий проводимости.

### 3. ЧИСЛЕННЫЕ РЕЗУЛЬТАТЫ

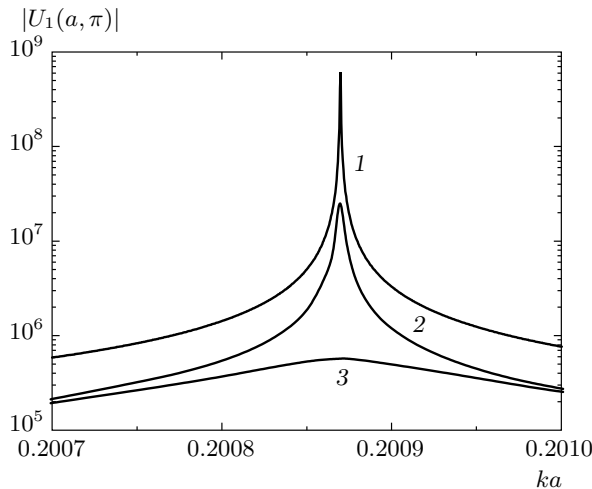
Представленные ниже численные результаты получены путем суммирования рядов (17), (22), а также при помощи модифицированного метода дискретных источников [16, 17]. Результаты расчетов, полученные этими двумя методами, совпадают.

Вычисления были проведены в области параметров, удовлетворяющих условиям (26), (31). Во всех расчетах координата источника полагалась равной  $r_0 = 1.2a$ .

Исследуем амплитудно-частотную характеристику (АЧХ) цилиндра, под которой будем понимать зависимость модуля поля в точке  $r = 0.99a, \varphi = \pi$  от безразмерного параметра  $ka$ , пропорционального частоте. На рис. 2 изображена АЧХ для случая  $\varepsilon = -1.3, \mu = -1.00009775, \psi = 1.3$ . Кривыми 1 и 2 показаны АЧХ цилиндра при двух условиях возбуждения. На рисунке приведены только графики для компоненты поля  $U_1$ , так как значения компоненты  $U_2$  оказались на два порядка меньше. Кривая 1 на этом рисунке соответствует возбуждению ни-



**Рис. 2.** АЧХ метаматериального, анизотропно проводящего цилиндра при  $\varepsilon = -1.3, \mu = -1.00009775, \psi = 1.3$ : 1 —  $A_1 = 1, A_2 = 0$ ; 2 —  $A_1 = 0, A_2 = 1$



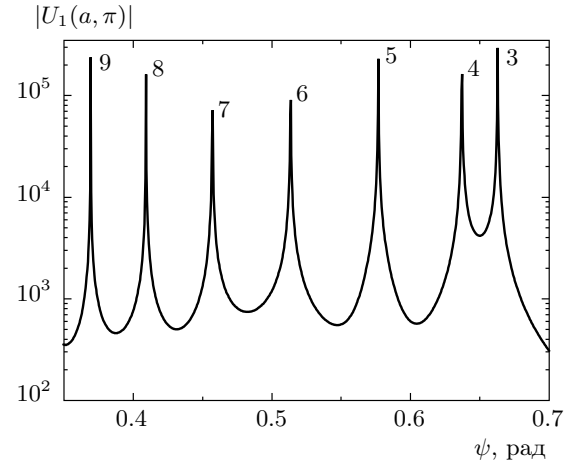
**Рис. 3.** АЧХ метаматериального, анизотропно проводящего цилиндра с параметрами  $\epsilon' = -1.3$ ,  $\mu = -1.00009775$ ,  $\psi = 1.3$  при различных значениях диэлектрических потерь:  $\epsilon'' = 10^{-8}$  (1),  $10^{-7}$  (2),  $10^{-5}$  (3)

тью электрического тока ( $A_1 = 1$ ,  $A_2 = 0$ ), а кривая 2 — нитью магнитного тока ( $A_1 = 0$ ,  $A_2 = 1$ ). Из сравнения кривых 1 и 2 следует, что эффективность возбуждения колебаний в цилиндре магнитным током на два порядка меньше, чем электрическим. Поэтому в дальнейшем мы будем рассматривать только компоненту  $U_1$ , полагая  $A_1 = 1$ ,  $A_2 = 0$ . Расчеты показали, что при резонансной частоте  $ka = 0.20087$  поле на поверхности цилиндра и диаграмма рассеяния описываются одной гармоникой  $\cos(5\varphi)$  с весьма большими амплитудами, порядка  $10^8$  и  $10^4$  соответственно.

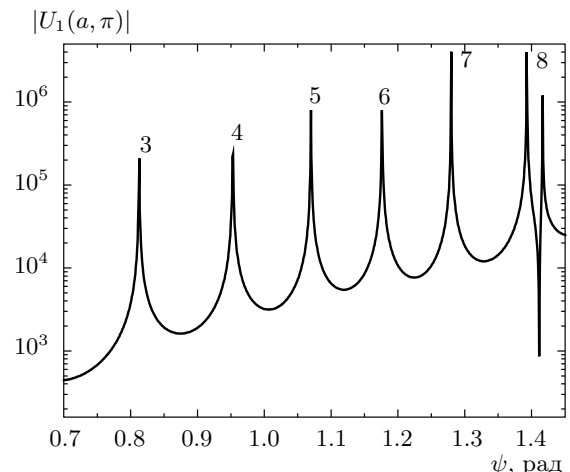
Для исследования влияния тепловых потерь на добротность резонансов был использован модифицированный метод дискретных источников [16, 17]. На рис. 3 приведено семейство кривых, которые описывают АЧХ рассматриваемой структуры в окрестности резонансной частоты  $ka = 0.20087$  при различных значениях величины  $\epsilon''$ , определяющей диэлектрические потери среды ( $\epsilon = \epsilon' - i\epsilon''$ ). Из рисунка видно, что увеличение тепловых потерь приводит к уменьшению добротности резонанса.

$$Q = \frac{ka}{\Delta ka_{0.7}}$$

( $\Delta ka_{0.7}$  — ширина резонансной кривой на уровне 0.707). Кривая 1 на рис. 3 ( $\epsilon'' = 10^{-8}$ ) практически совпадает с кривой 1 на рис. 2, соответствующей отсутствию тепловых потерь ( $Q \sim 10^6$ ). При  $\epsilon'' = 10^{-5}$  добротность уменьшается до величины  $Q \sim 10^3$ .

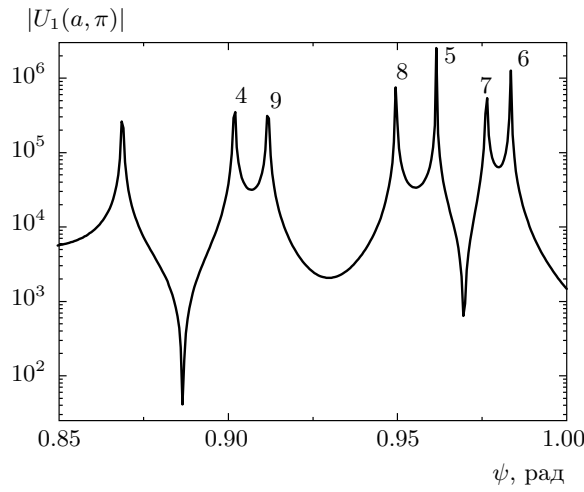


**Рис. 4.** Зависимость модуля поля  $U_1(a, \pi)$  от угла скрутки спирали для  $ka = 0.2 \dots, \varepsilon = -1.3, \mu = -0.999$ ; цифры соответствуют азимутальному индексу  $t$  резонанса



**Рис. 5.** Зависимость модуля поля  $U_1(a, \pi)$  от угла скрутки спирали для  $ka = 0.2 \dots, \varepsilon = -1.3, \mu = -0.9999$ ; цифры соответствуют азимутальному индексу  $t$  резонанса

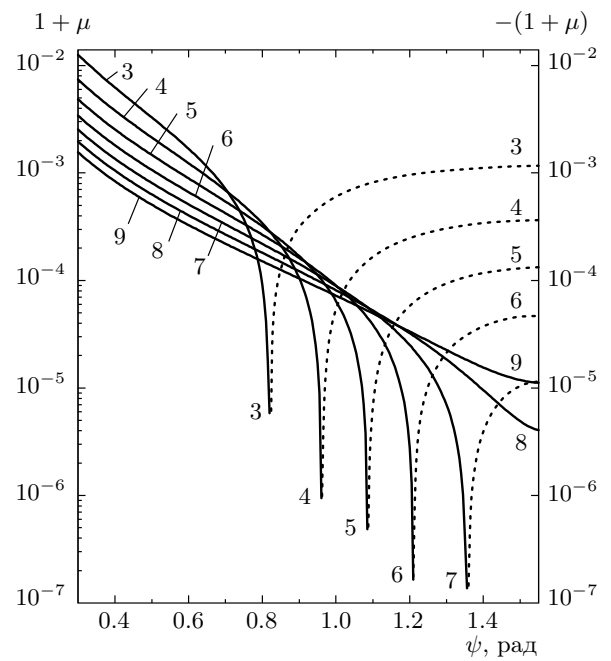
Заметим, что при произвольно заданном угле спирали  $\psi$  в рассматриваемом диапазоне частот  $ka$  резонансы появятся лишь в том случае, если углы  $\psi$  будут лежать в узких интервалах, вблизи вполне определенных дискретных значений  $\psi_m$ , и этим дискретным значениям будут соответствовать резонансы с различными азимутальными индексами  $t$ . Для пояснения этой ситуации на рис. 4–6 приведены зависимости модуля поля  $U_1(r, \varphi)$  в точке  $r = 0.99a$ ,



**Рис. 6.** Зависимость модуля поля  $U_1(a, \pi)$  от угла скрутки спирали для  $ka = 0.2 \dots$ ,  $\varepsilon = -1.3$ ,  $\mu = -0.9999$ ; цифры соответствуют азимутальному индексу  $m$  резонанса

$\varphi = \pi$  от угла скрутки спирали  $\psi$  на частоте  $ka = 0.20087$  для трех значений магнитной проницаемости:  $\mu + 1 = 10^{-5}$ ,  $10^{-4}$ ,  $10^{-3}$ . При этом значение диэлектрической проницаемости составляло  $\varepsilon = -1.3$ . Видно, что кривые на рис. 4–6 имеют резонансный характер. Индекс резонансного угла  $\psi_m$  совпадает с номером азимутальной гармоники, доминирующей в поле резонансного колебания. Заметим, что при  $\mu + 1 = 10^{-5}$  (рис. 5) резонансные углы  $\psi_m$  возрастают с увеличением номера  $m$ , а при  $\mu + 1 = 10^{-3}$  (рис. 4) — убывают. Для случая  $\mu + 1 = 10^{-4}$  монотонная зависимость от номера исчезает и пары резонансов  $\psi_m$  с номерами «4, 9», «8, 5» и «7, 6» сближаются, образуя «дуплеты» (см. рис. 6).

Покажем, что такое поведение резонансных параметров связано с пересечением дисперсионных кривых, соответствующих различным азимутальным индексам  $m$ , т. е. с вырождением колебаний. На рис. 7 изображено семейство кривых, описывающих связь между резонансным значением угла скрутки  $\psi_m$  и магнитной проницаемостью цилиндра  $\mu$  для случая  $ka = 0.2 \dots$ ,  $\varepsilon = -1.3$ . Различным кривым соответствуют разные значения азимутального индекса  $m$ . Кривые на рис. 7 представляют собой траектории перемещения максимума модуля поля в двумерной области  $(\psi, \mu)$  для заданных значений  $ka$  и  $\varepsilon$ . Кривые получены в результате вычисления выражения (17) в окрестности резонансных всплесков волнового поля. Сплошные кривые соответствуют положи-

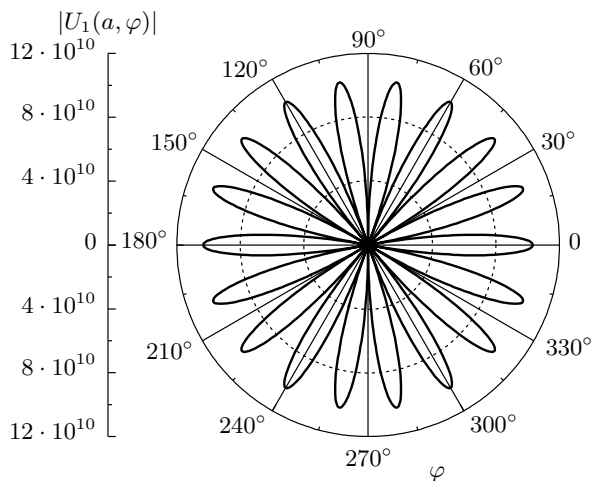


**Рис. 7.** Траектории резонансных параметров мод с индексом  $m$  в плоскости  $(\mu, \psi)$  при  $ka = 0.2 \dots$ ,  $\varepsilon = -1.3$ ; номера кривых соответствуют азимутальным индексам  $m$  резонансов. Сплошные кривые:  $1 + \mu > 0$  (левая шкала); пунктирные кривые:  $1 + \mu < 0$  (правая шкала)

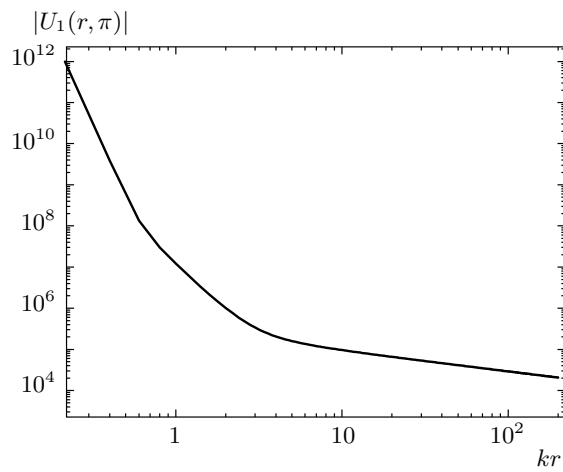
жительным значениям величины  $1 + \mu$ , а пунктирные — отрицательным значениям  $1 + \mu$ . Из рис. 7 следует, что существует область значений параметра  $1 + \mu$ , где дисперсионные кривые пересекаются.

Заметим, что построенные по формуле (29) зависимости магнитной проницаемости от угла скрутки с графической точностью совпадают с кривыми, изображенными на рис. 7.

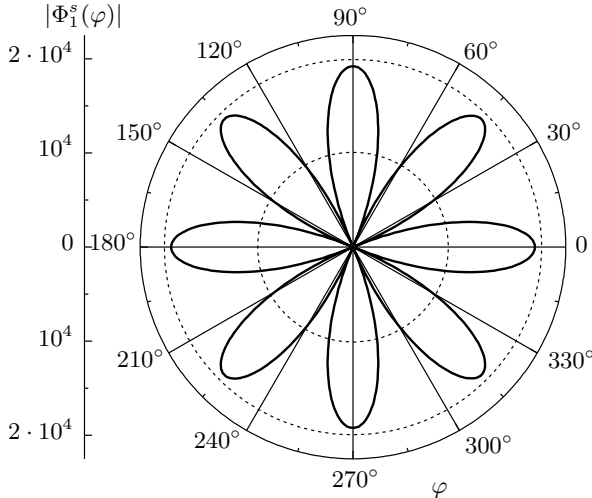
Исследуем пространственную структуру резонансного поля при параметрах  $\mu = -0.9999 \dots$ ,  $\psi = 0.899 \dots$ , которые обеспечивают вырождение колебаний с азимутальными индексами  $m = 4$  и  $m = 9$ . На рис. 8 изображено распределение поля на поверхности цилиндра; оно описывается функцией  $\cos(9\varphi)$ . На рис. 9 представлена диаграмма расстояния рассматриваемого цилиндра; она содержит единственную гармонику  $\cos(4\varphi)$ . На рис. 10 изображено распределение модуля полного поля  $|U_1|$  по радиальной координате, вдоль направления  $\varphi = \pi$ . Видно, что кривая содержит три участка:  $kr < 0.6$ ,  $0.6 < kr < 3$ ,  $kr > 3$ , на которых поле описывается функциями соответственно  $|U_1| \sim (kr)^{-9}$ ,  $|U_1| \sim (kr)^{-4}$ ,  $|U_1| \sim (kr)^{-1/2}$ . Первый участок соот-



**Рис. 8.** Распределение модуля поля  $U_1(a, \varphi)$  в точке вырождения «4, 9» при  $ka = 0.2\dots, \varepsilon = -1.3, \mu = -0.999895\dots, \psi = 0.8993626\dots$



**Рис. 10.** Распределение модуля поля  $U_1(r, \pi)$  вне цилиндра, в точке вырождения «4, 9» при  $ka = 0.2\dots, \varepsilon = -1.3, \mu = -0.999895\dots, \psi = 0.8993626\dots$



**Рис. 9.** Модуль диаграммы рассеяния  $\Phi_1^s(\varphi)$  поля на цилиндре, в точке вырождения «4, 9» при  $ka = 0.2\dots, \varepsilon = -1.3, \mu = -0.999895\dots, \psi = 0.8993626\dots$

ветствует ближнему полю; на нем преобладает гармоника с  $m = 9$ . Второй участок также соответствует ближнему полю, но при доминировании гармоники с  $m = 4$ . И наконец, третий участок соответствует дальнему полю.

Общее представление о пространственном распределении модуля поля  $|U_1|$  на плоскости  $(x, y)$  дает рис. 11. Следует иметь в виду, что перепад амплитуд поля в рассматриваемой пространственной области весьма велик (см. также рис. 10). Видно, что

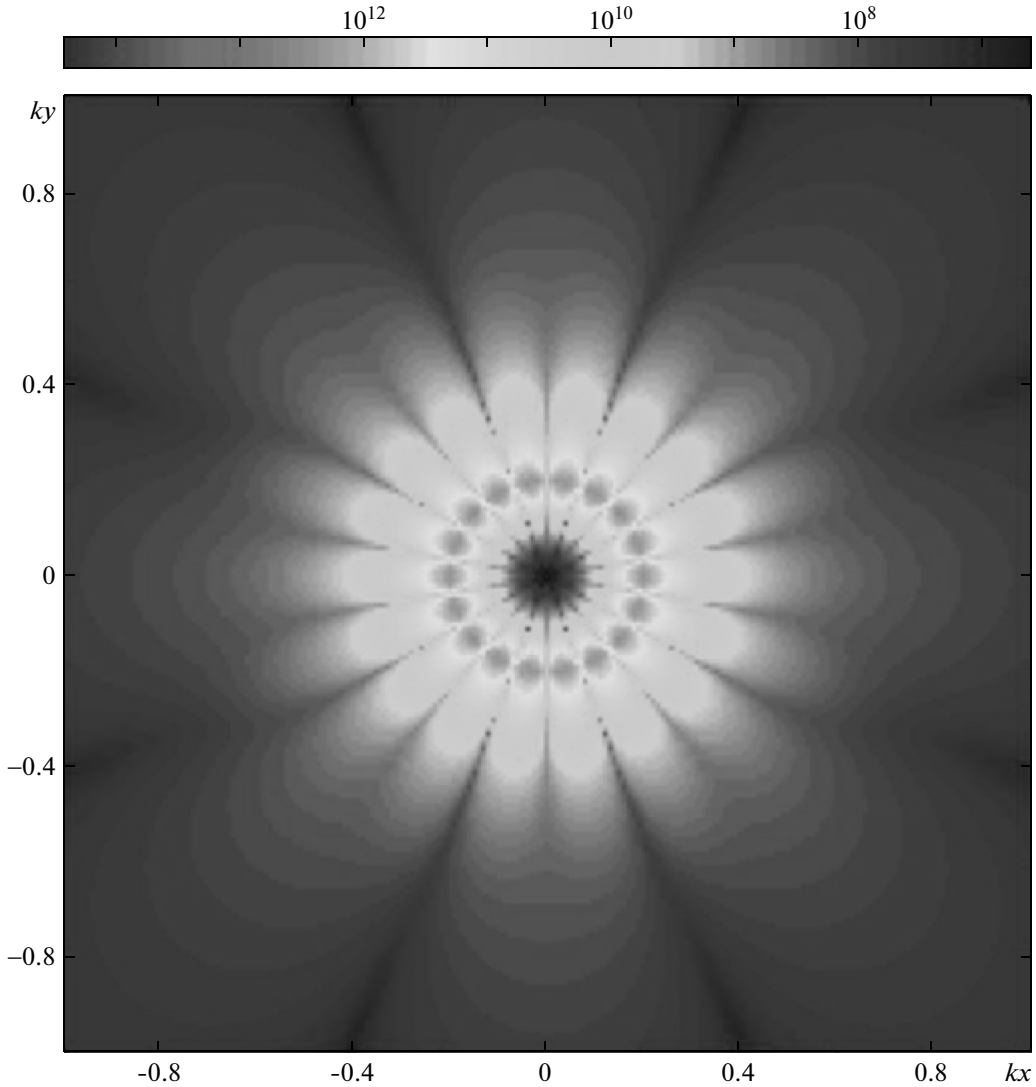
в окрестности цилиндра ( $kr \approx 0.2$ ) интерференционная картина содержит 18 радиальных полос; при  $kr > 0.7$  число полос уменьшается до 8.

В окрестности точки  $kr \approx 0.6$  согласно рис. 10 происходит смена законов убывания резонансного поля по радиальной координате. В кольцевой области  $0.5 < kr < 0.7$  в результате сложения двух гармоник  $\cos(4\varphi)$  и  $\cos(9\varphi)$ , имеющих соизмеримые амплитуды, возникает достаточно сложная интерференционная картина.

Следует подчеркнуть, что аналогичным образом ведут себя поля во всех точках вырождения, т. е. в точках пересечения кривых, изображенных на рис. 7, а именно, в поле на контуре преобладает старшая азимутальная гармоника, а в дальнем поле — младшая.

#### 4. СТРУКТУРА РЕЗОНАНСНЫХ ПОЛЕЙ В СТАТИЧЕСКОЙ ОБЛАСТИ

Рассмотрим более подробно вопрос о пространственной и поляризационной структурах полей в условиях резонанса. Описанные в предыдущем разделе резонансы являются квазистатическими. Электромагнитное поле сосредоточено в статической области  $kr \ll 1$  и быстро убывает с удалением от поверхности цилиндра. В этой области компоненты электромагнитного поля  $E_z$  и  $H_z$  приближенно удовлетворяют уравнению Лапласа. Легко получить



**Рис. 11.** Пространственное распределение функции  $|U_1|$  в плоскости  $(x, y)$  при  $ka = 0.2 \dots$ ,  $\varepsilon = -1.3$ ,  $\mu = -0.999895 \dots$ ,  $\psi = 0.8993626 \dots$

следующие выражения для колебаний с номером  $m$  в квазистатическом приближении:

$$E_z = \begin{cases} \frac{ka}{m} \left(\frac{r}{a}\right)^m \exp(im\varphi), & r < a, \\ \frac{ka}{m} \left(\frac{r}{a}\right)^{-m} \exp(im\varphi), & r > a, \end{cases} \quad (32)$$

$$E_\varphi = \begin{cases} -\frac{ka}{m} \operatorname{ctg} \psi \left(\frac{r}{a}\right)^{m-1} \exp(im\varphi), & r < a, \\ -\frac{ka}{m} \operatorname{ctg} \psi \left(\frac{r}{a}\right)^{-m-1} \exp(im\varphi), & r > a, \end{cases} \quad (34)$$

$$H_z =$$

$$E_r = \begin{cases} i \frac{ka}{m} \operatorname{ctg} \psi \left(\frac{r}{a}\right)^{m-1} \exp(im\varphi), & r < a, \\ -i \frac{ka}{m} \operatorname{ctg} \psi \left(\frac{r}{a}\right)^{-m-1} \exp(im\varphi), & r > a, \end{cases} \quad (33)$$

$$= \begin{cases} i \left(\frac{ka}{m}\right)^2 \varepsilon \operatorname{ctg} \psi \left(\frac{r}{a}\right)^m \exp(im\varphi), & r < a, \\ -i \left(\frac{ka}{m}\right)^2 \operatorname{ctg} \psi \left(\frac{r}{a}\right)^{-m} \exp(im\varphi), & r > a, \end{cases} \quad (35)$$

$$H_r = \begin{cases} -\frac{1}{\mu} \left(\frac{r}{a}\right)^{m-1} \exp(im\varphi), & r < a, \\ -\left(\frac{r}{a}\right)^{-m-1} \exp(im\varphi), & r > a, \end{cases} \quad (36)$$

$$H_\varphi = \begin{cases} -\frac{i}{\mu} \left(\frac{r}{a}\right)^{m-1} \exp(im\varphi), & r < a, \\ i \left(\frac{r}{a}\right)^{-m-1} \exp(im\varphi), & r > a. \end{cases} \quad (37)$$

Электрическое поле, определяемое формулами (32)–(34), удовлетворяет уравнению электростатики

$$\operatorname{div} \mathbf{E} = 0 \quad (38)$$

и граничным условиям (1). Магнитное поле (35)–(37) с учетом условий (31) приближенно удовлетворяет как уравнению магнитостатики,

$$\operatorname{div} \mathbf{H} = 0, \quad (39)$$

так и граничному условию (2). Выражения (32)–(37) удовлетворяют также соотношениям (7), (8).

Заметим, что угол скрутки спирали  $\psi$  не предполагался малым и, следовательно, величина  $\operatorname{ctg} \psi$  не может принимать больших значений. Поэтому, учитывая условие  $ka \ll 1$ , заключаем, что в поле (32)–(37) преобладает магнитная составляющая  $|\mathbf{H}| \gg |\mathbf{E}|$ . При этом выполняются соотношения

$$|E_z| \gg |H_z|, \quad (40)$$

$$|H_r| = |H_\varphi| \gg |H_z|. \quad (41)$$

Таким образом, можно считать, что магнитное поле перпендикулярно оси  $z$  (рис. 1). Условие (40), т. е.  $|U_1| \gg |U_2|$ , согласуется с результатами численных расчетов, представленных в предыдущем разделе.

Обсудим поляризационную структуру полей собственных колебаний. Из формул (32), (34) следует, что компонента электрического поля, касательная к цилиндрическим поверхностям  $r = \text{const}$ , имеет линейную поляризацию, при этом

$$\frac{E_\varphi}{E_z} = -\frac{a}{r} \operatorname{ctg} \psi. \quad (42)$$

Таким образом, силовые линии электрического поля на поверхности цилиндра  $r = \text{const}$  являются винтовыми линиями. Из соотношения (42) следует, что на границе  $r = a$  цилиндра из метаматериала эти линии ортогональны проводникам спирали. При увеличении радиуса  $r$  угол скрутки силовых линий электрического поля уменьшается.

Компоненты электрического и магнитного полей, лежащие в плоскостях, перпендикулярных оси

цилиндра, имеют круговые поляризации:  $E_r = \pm i E_\varphi$ ,  $H_r = \pm i H_\varphi$ . При этом вне и внутри цилиндра  $r = a$  эти поля с круговой поляризацией имеют противоположные направления вращения. Отмеченные свойства характерны для киральных объектов [13].

Уравнение для собственных частот квазистатических колебаний может быть получено из следующего соотношения, которое выражает равенство энергий, запасенных электрическим и магнитным полями рассматриваемой резонансной структуры:

$$\begin{aligned} & \int_0^\infty \int_0^{2\pi} \mu(r) [|H_r(r, \varphi)|^2 + |H_\varphi(r, \varphi)|^2] r dr d\varphi = \\ & = \int_0^\infty \int_0^{2\pi} \varepsilon(r) [|E_z(r, \varphi)|^2 + |E_r(r, \varphi)|^2 + |E_\varphi(r, \varphi)|^2] \times \\ & \times r dr d\varphi. \quad (43) \end{aligned}$$

Это свойство хорошо известно из теории объемных резонаторов [18]. В формуле (43) компонентой  $H_z$  пренебрегли в силу соотношения (41). Поскольку электромагнитное поле сконцентрировано в статической области, в (43) можно использовать формулы (32)–(34), (36), (37). Выполнив затем интегрирование, получим уравнение (29). Таким образом, это уравнение по своему физическому смыслу является аналогом формулы Томсона  $\omega^2 = 1/LC$ , определяющей резонансную частоту  $LC$ -контакта.

## 5. ВЫВОДЫ

Проведено численное исследование задачи возбуждения нитями электрического и магнитного токов цилиндрической многозаходной проволочной спирали, заполненной метаматериалом. В малых по сравнению с длиной волны цилиндрах, магнитная проницаемость которых близка к минус единице, обнаружен эффект вырождения высокодобротных резонансов.

Исследована динамика вырождения собственных колебаний кирального цилиндра, заполненного метаматериалом. Показано, что существуют колебания, у которых азимутальная зависимость поля  $\cos(m\varphi)$  имеет разные значения индекса  $m$  в ближнем и дальнем полях. В квазистатическом приближении дано аналитическое описание резонансов. Получено явное выражение для собственных частот цилиндрического кирального цилиндра, заполненного метаматериалом.

Работа выполнена при частичной финансовой поддержке РФФИ (грант № 12-02-00062-а).

## ЛИТЕРАТУРА

1. В. Г. Веселаго, УФН **92**, 517 (1967).
2. К. Ю. Блиох, Ю. П. Блиох, УФН **174**, 439 (2004).
3. D. R. Smith, J. B. Pendry, and M. C. K. Wiltshire, Science **305**, 788 (2004).
4. А. А. Жаров, И. Г. Кондратьев, А. И. Смирнов, Изв. вузов. Радиофизика **48**, 978 (2005).
5. А. Б. Петрин, Письма в ЖЭТФ **87**, 550 (2008).
6. А. А. Жаров, Н. А. Жарова, Р. Е. Носков, ЖЭТФ **136**, 853 (2009).
7. A. Sihvola, Metamaterials **1**, 2 (2007).
8. А. П. Аниотин, И. П. Коршунов, А. Д. Шатров, ЖЭТФ **145**, 35 (2014).
9. V. V. Klimov, Opt. Comm. **211**, 183 (2002).
10. A. P. Anyutin, I. P. Korshunov, and A. D. Shatrov, in *CD-ROM Proc. of 7<sup>th</sup> Int. Congress on Advanced Electromagnetic Materials in Microwaves and Optics (META' 2013)*, Bordeaux, France (2013), p. PSIII25.
11. А. П. Аниотин, И. П. Коршунов, А. Д. Шатров, Радиотехн. и электрон. **59**, 437 (2014).
12. D. V. Guzatov and V. V. Klimov, New J. Phys. **14**, 123009 (2012).
13. Б. З. Каценеленбаум, Е. Н. Коршунова, А. Н. Сивов, А. Д. Шатров, УФН **167**, 1201 (1997).
14. И. П. Коршунов, Е. Н. Коршунова, А. Н. Сивов, А. Д. Шатров, Радиотехн. и электрон. **52**, 389 (2007).
15. М. Абрамовиц, И. Стиган, *Справочник по специальным функциям*, Наука, Москва (1979).
16. А. Г. Кюркчан, С. А. Минаев, А. Л. Соловейчик, Радиотехн. и электрон. **46**, 666 (2001).
17. А. П. Аниотин, А. Г. Кюркчан, С. А. Минаев, Радиотехн. и электрон. **47**, 955 (2002).
18. B. Z. Katsenelenbaum, *High-Frequency Electrodynamics*, Wiley-VCH, Weinheim (2006).